

# Starkniederschlagshöhen und -spenden gemäß KOSTRA-DWD-2020

## Rasterfeld 145182

(Zeile 145, Spalte 182)

### Regenspende und Bemessungsniederschlagswerte in Abhängigkeit von Wiederkehrzeit T und Dauerstufe D

| Dauerstufe D |     | Wiederkehrzeit T |            |      |            |      |            |      |            |       |            |       |            |       |            |       |            |       |            |
|--------------|-----|------------------|------------|------|------------|------|------------|------|------------|-------|------------|-------|------------|-------|------------|-------|------------|-------|------------|
|              |     | 1 a              |            | 2 a  |            | 3 a  |            | 5 a  |            | 10 a  |            | 20 a  |            | 30 a  |            | 50 a  |            | 100 a |            |
| min          | Std | mm               | l / (s ha) | mm   | l / (s ha) | mm   | l / (s ha) | mm   | l / (s ha) | mm    | l / (s ha) | mm    | l / (s ha) | mm    | l / (s ha) | mm    | l / (s ha) | mm    | l / (s ha) |
| 5            |     | 7,4              | 246,7      | 9,3  | 310,0      | 10,4 | 346,7      | 12,0 | 400,0      | 14,2  | 473,3      | 16,5  | 550,0      | 18,0  | 600,0      | 19,9  | 663,3      | 22,7  | 756,7      |
| 10           |     | 9,8              | 163,3      | 12,3 | 205,0      | 13,9 | 231,7      | 15,9 | 265,0      | 18,8  | 313,3      | 21,9  | 365,0      | 23,9  | 398,3      | 26,5  | 441,7      | 30,2  | 503,3      |
| 15           |     | 11,3             | 125,6      | 14,2 | 157,8      | 16,0 | 177,8      | 18,3 | 203,3      | 21,7  | 241,1      | 25,2  | 280,0      | 27,5  | 305,6      | 30,5  | 338,9      | 34,7  | 385,6      |
| 20           |     | 12,4             | 103,3      | 15,5 | 129,2      | 17,5 | 145,8      | 20,1 | 167,5      | 23,8  | 198,3      | 27,6  | 230,0      | 30,1  | 250,8      | 33,4  | 278,3      | 38,1  | 317,5      |
| 30           |     | 14,0             | 77,8       | 17,5 | 97,2       | 19,7 | 109,4      | 22,6 | 125,6      | 26,8  | 148,9      | 31,1  | 172,8      | 33,9  | 188,3      | 37,6  | 208,9      | 42,9  | 238,3      |
| 45           |     | 15,6             | 57,8       | 19,6 | 72,6       | 22,1 | 81,9       | 25,3 | 93,7       | 30,0  | 111,1      | 34,9  | 129,3      | 38,0  | 140,7      | 42,2  | 156,3      | 48,1  | 178,1      |
| 60           | 1   | 16,9             | 46,9       | 21,2 | 58,9       | 23,9 | 66,4       | 27,4 | 76,1       | 32,4  | 90,0       | 37,6  | 104,4      | 41,1  | 114,2      | 45,5  | 126,4      | 51,9  | 144,2      |
| 90           | 1,5 | 18,8             | 34,8       | 23,6 | 43,7       | 26,5 | 49,1       | 30,4 | 56,3       | 36,0  | 66,7       | 41,8  | 77,4       | 45,6  | 84,4       | 50,6  | 93,7       | 57,7  | 106,9      |
| 120          | 2   | 20,2             | 28,1       | 25,3 | 35,1       | 28,5 | 39,6       | 32,7 | 45,4       | 38,8  | 53,9       | 45,0  | 62,5       | 49,1  | 68,2       | 54,4  | 75,6       | 62,1  | 86,3       |
| 180          | 3   | 22,3             | 20,6       | 28,0 | 25,9       | 31,6 | 29,3       | 36,2 | 33,5       | 42,9  | 39,7       | 49,8  | 46,1       | 54,3  | 50,3       | 60,2  | 55,7       | 68,7  | 63,6       |
| 240          | 4   | 24,0             | 16,7       | 30,1 | 20,9       | 33,9 | 23,5       | 38,9 | 27,0       | 46,0  | 31,9       | 53,4  | 37,1       | 58,3  | 40,5       | 64,6  | 44,9       | 73,7  | 51,2       |
| 360          | 6   | 26,5             | 12,3       | 33,2 | 15,4       | 37,4 | 17,3       | 42,9 | 19,9       | 50,8  | 23,5       | 59,0  | 27,3       | 64,4  | 29,8       | 71,4  | 33,1       | 81,4  | 37,7       |
| 540          | 9   | 29,2             | 9,0        | 36,7 | 11,3       | 41,3 | 12,7       | 47,4 | 14,6       | 56,1  | 17,3       | 65,1  | 20,1       | 71,0  | 21,9       | 78,7  | 24,3       | 89,8  | 27,7       |
| 720          | 12  | 31,3             | 7,2        | 39,3 | 9,1        | 44,3 | 10,3       | 50,8 | 11,8       | 60,1  | 13,9       | 69,8  | 16,2       | 76,1  | 17,6       | 84,4  | 19,5       | 96,3  | 22,3       |
| 1080         | 18  | 34,5             | 5,3        | 43,3 | 6,7        | 48,8 | 7,5        | 56,0 | 8,6        | 66,3  | 10,2       | 77,0  | 11,9       | 83,9  | 12,9       | 93,1  | 14,4       | 106,2 | 16,4       |
| 1440         | 24  | 37,0             | 4,3        | 46,5 | 5,4        | 52,3 | 6,1        | 60,0 | 6,9        | 71,1  | 8,2        | 82,5  | 9,5        | 90,0  | 10,4       | 99,8  | 11,6       | 113,8 | 13,2       |
| 2880         | 48  | 43,7             | 2,5        | 54,9 | 3,2        | 61,8 | 3,6        | 70,9 | 4,1        | 83,9  | 4,9        | 97,4  | 5,6        | 106,2 | 6,1        | 117,8 | 6,8        | 134,4 | 7,8        |
| 4320         | 72  | 48,2             | 1,9        | 60,5 | 2,3        | 68,1 | 2,6        | 78,1 | 3,0        | 92,5  | 3,6        | 107,4 | 4,1        | 117,1 | 4,5        | 129,8 | 5,0        | 148,1 | 5,7        |
| 5760         | 96  | 51,6             | 1,5        | 64,8 | 1,9        | 72,9 | 2,1        | 83,7 | 2,4        | 99,1  | 2,9        | 115,0 | 3,3        | 125,5 | 3,6        | 139,1 | 4,0        | 158,7 | 4,6        |
| 7200         | 120 | 54,4             | 1,3        | 68,3 | 1,6        | 76,9 | 1,8        | 88,2 | 2,0        | 104,5 | 2,4        | 121,3 | 2,8        | 132,3 | 3,1        | 146,7 | 3,4        | 167,4 | 3,9        |
| 8640         | 144 | 56,9             | 1,1        | 71,4 | 1,4        | 80,4 | 1,6        | 92,2 | 1,8        | 109,2 | 2,1        | 126,8 | 2,4        | 138,2 | 2,7        | 153,3 | 3,0        | 174,9 | 3,4        |
| 10080        | 168 | 59,0             | 1,0        | 74,1 | 1,2        | 83,4 | 1,4        | 95,7 | 1,6        | 113,3 | 1,9        | 131,5 | 2,2        | 143,4 | 2,4        | 159,1 | 2,6        | 181,4 | 3,0        |

# Starkniederschlagshöhen und -spenden gemäß KOSTRA-DWD-2020

## Rasterfeld 145182

(Zeile 145, Spalte 182)

### Örtliche Unsicherheiten in Abhängigkeit von Wiederkehrzeit T und Dauerstufe D

| Dauerstufe D |     | Wiederkehrzeit T |     |     |     |      |      |      |      |       |
|--------------|-----|------------------|-----|-----|-----|------|------|------|------|-------|
|              |     | 1 a              | 2 a | 3 a | 5 a | 10 a | 20 a | 30 a | 50 a | 100 a |
| min          | Std | ± %              | ± % | ± % | ± % | ± %  | ± %  | ± %  | ± %  | ± %   |
| 5            |     | 11               | 12  | 12  | 13  | 14   | 14   | 15   | 15   | 16    |
| 10           |     | 14               | 16  | 17  | 18  | 19   | 20   | 20   | 21   | 21    |
| 15           |     | 16               | 19  | 20  | 21  | 22   | 22   | 23   | 23   | 24    |
| 20           |     | 18               | 20  | 21  | 22  | 23   | 24   | 24   | 25   | 25    |
| 30           |     | 19               | 21  | 22  | 23  | 25   | 25   | 26   | 26   | 27    |
| 45           |     | 20               | 22  | 23  | 24  | 25   | 26   | 27   | 27   | 28    |
| 60           | 1   | 20               | 22  | 23  | 24  | 25   | 26   | 27   | 27   | 28    |
| 90           | 1,5 | 20               | 22  | 23  | 24  | 25   | 26   | 27   | 27   | 28    |
| 120          | 2   | 19               | 21  | 22  | 24  | 25   | 26   | 26   | 27   | 27    |
| 180          | 3   | 18               | 21  | 22  | 23  | 24   | 25   | 25   | 26   | 26    |
| 240          | 4   | 18               | 20  | 21  | 22  | 23   | 24   | 24   | 25   | 25    |
| 360          | 6   | 17               | 19  | 20  | 21  | 22   | 23   | 23   | 24   | 24    |
| 540          | 9   | 16               | 18  | 19  | 20  | 21   | 22   | 22   | 23   | 23    |
| 720          | 12  | 15               | 17  | 18  | 19  | 20   | 21   | 21   | 22   | 22    |
| 1080         | 18  | 15               | 16  | 17  | 18  | 19   | 20   | 20   | 21   | 21    |
| 1440         | 24  | 14               | 16  | 16  | 17  | 18   | 19   | 19   | 20   | 20    |
| 2880         | 48  | 14               | 15  | 15  | 16  | 17   | 18   | 18   | 18   | 19    |
| 4320         | 72  | 14               | 15  | 15  | 16  | 17   | 17   | 17   | 18   | 18    |
| 5760         | 96  | 14               | 15  | 15  | 16  | 16   | 17   | 17   | 17   | 18    |
| 7200         | 120 | 15               | 15  | 15  | 16  | 16   | 17   | 17   | 17   | 18    |
| 8640         | 144 | 15               | 15  | 15  | 16  | 16   | 17   | 17   | 17   | 18    |
| 10080        | 168 | 15               | 15  | 16  | 16  | 16   | 17   | 17   | 17   | 18    |

### Parameter für abweichende T und D

#### Lokationsparameter $\xi$ (Xi)

17,32686929

#### Skalenparameter $\alpha$ (Alpha)

6,1497485

#### Formparameter $\kappa$ (Kappa)

-0,1

#### 1. Koutsoyiannis-Parameter $\theta$ (Theta)

0,03340362

#### 2. Koutsoyiannis-Parameter $\eta$ (Eta)

0,76069787

Parameter für dauerstufenübergreifende Extremwertschätzung nach KOUTSOYIANNIS et al. 1998.

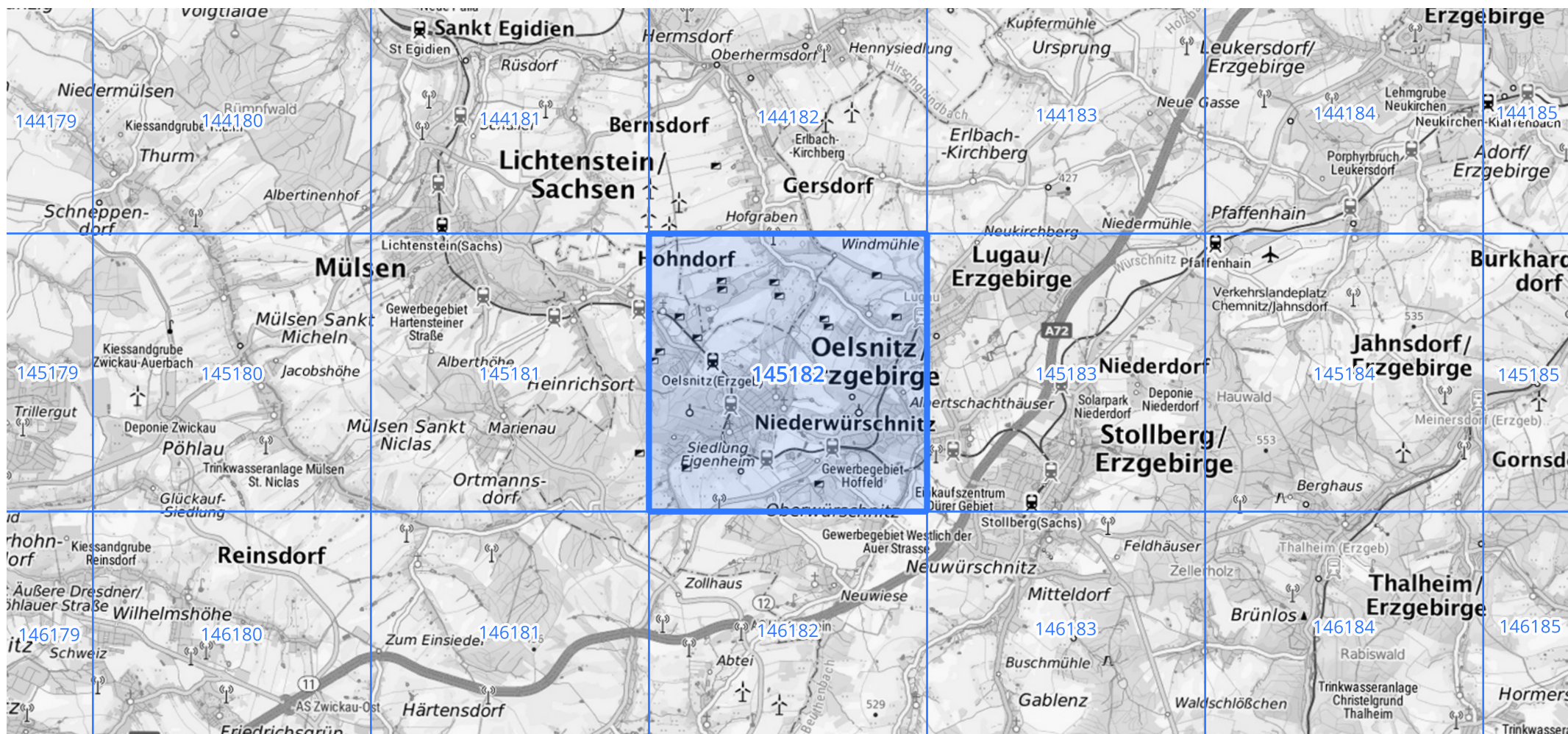
Siehe auch Anwendungshilfe zu KOSTRA-DWD-2020 des Deutschen Wetterdienstes.

# Starkniederschlagshöhen und -spenden gemäß KOSTRA-DWD-2020

## Rasterfeld 145182

(Zeile 145, Spalte 182)

Übersichtskarte des Rasterfeldes 145182, M 1 : 100 000



Quelle Rasterdaten: KOSTRA-DWD-2020 des Deutschen Wetterdienstes, Stand 12/2022.

Seite 3 von 3

Kartendarstellung: © Bundesamt für Kartographie und Geodäsie (2023), Datenquellen: [https://sgx.geodatenzentrum.de/web\\_public/gdz/datenquellen/Datenquellen\\_TopPlusOpen.html](https://sgx.geodatenzentrum.de/web_public/gdz/datenquellen/Datenquellen_TopPlusOpen.html)

Für die Richtigkeit und Aktualität der Angaben wird keine Gewähr übernommen. Erstellt 01/2023.